



**HAL**  
open science

# CARTOD / MAPOD CARTographie d'une matrice de flux Origine Application de visualisation de la demande de transport locale par déformation des arêtes et des sommets pour augmenter la lisibilité

Olivier Bonin, F. Bahoken, Samuel Mermet

## ► To cite this version:

Olivier Bonin, F. Bahoken, Samuel Mermet. CARTOD / MAPOD CARTographie d'une matrice de flux Origine Application de visualisation de la demande de transport locale par déformation des arêtes et des sommets pour augmenter la lisibilité. M@ppemonde, 2014. halshs-01676428

**HAL Id: halshs-01676428**

**<https://shs.hal.science/halshs-01676428>**

Submitted on 8 Jan 2018

**HAL** is a multi-disciplinary open access archive for the deposit and dissemination of scientific research documents, whether they are published or not. The documents may come from teaching and research institutions in France or abroad, or from public or private research centers.

L'archive ouverte pluridisciplinaire **HAL**, est destinée au dépôt et à la diffusion de documents scientifiques de niveau recherche, publiés ou non, émanant des établissements d'enseignement et de recherche français ou étrangers, des laboratoires publics ou privés.

## CARTOD / MAPOD

### *CART*ographie d'une matrice de flux Origine-Destination *MA*ping Origin-Destination flow matrix

#### Application de visualisation de la demande de transport locale par déformation des arêtes et des sommets pour augmenter la lisibilité

Olivier Bonin<sup>1</sup>, Françoise Bahoken<sup>2</sup>, Samuel Mermet<sup>1</sup>

Université Paris-Est / IFSTTAR

<sup>1</sup>UMR LVMT, <sup>2</sup>UR SPLOTT et UMR GEOGRAPHIE-CITES (associée)

(*olivier.bonin, francoise.bahoken, samuel.mermet*)@ifsttar.fr

### Objectifs et contextes de développement

L'objectif de l'application CARTOD est d'autoriser la géovisualisation de l'ensemble de l'information présente dans une matrice de flux sous la forme d'un graphe spatialisé et cela, sans opérer de sélection *a priori* des valeurs à représenter.

La représentation des flux pose, en effet, un problème majeur de lisibilité lorsque la matrice est dense. Sachant que le nombre d'arêtes est fonction du nombre  $N$  de lieux d'origine et de destination, les  $N(N-1)$  figurés qui les représentent se traduisent sur la figure par un chevauchement trop important : c'est l'*effet spaghetti* (Breukelman & al., 2009). Ce problème général étant aussi de nature topologique, puisque les lieux sont nécessairement localisés, deux solutions sont envisageables outre l'utilisation d'une sémiologie adaptée. La première vise à agir sur la localisation des arêtes et la seconde sur celle des nœuds, soit respectivement sur les flux et sur les lieux.

L'application CARTOD est ainsi fondée sur un mode de représentation inédit qui s'inspire d'une part, du « *chord diagram* » (Stoica et al., 2001) et de l'autre, sur une méthode de déformation des arêtes et des sommets (Holten, 2006) ; toutes deux assurent la lisibilité de la figure et la conservation des motifs des flux à l'échelle concernée.

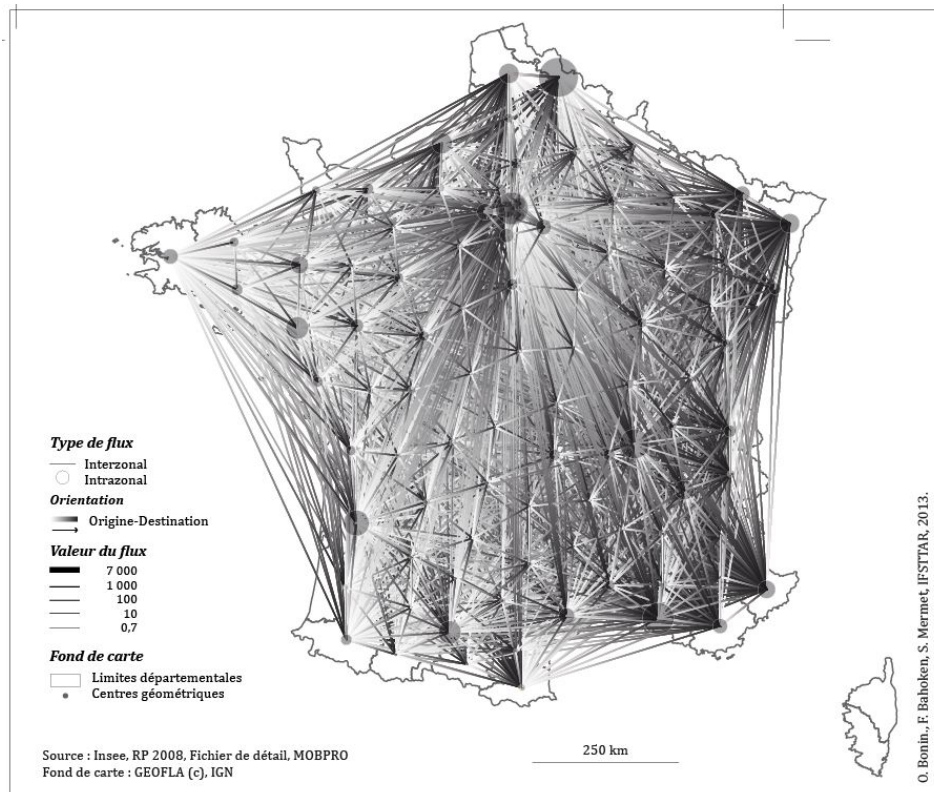
CARTOD a été développée dans le cadre du *Projet Belgrand-GEBD* : Grand Equipement Bases de Données pour l'ingénierie des données sur la ville (<http://belgrand-geb.d.ifsttar.fr>), en lien avec le *groupe fmr* : flux matrices réseaux (<http://groupefmr.hypotheses.org>). La réalisation informatique s'appuie sur le logiciel open source de visualisation des flux *Jflowmap* (Boyandin et al., 2010), que nous avons étendu en intégrant une méthode de classification fonctionnelle par les flux, ainsi qu'une procédure de transformation des régions en cercles équivalents.

### Présentation de l'application

La demande de transport s'exprime généralement sous la forme d'une matrice de flux Origine/Destination (OD) sur un maillage territorial. Les valeurs qu'elle contient résultent de la comptabilisation du nombre d'individus qui se sont déplacés depuis une maille d'origine vers une autre de destination, pendant une période de temps donnée. L'information obtenue est de nature topologique : les flux associés à cette matrice sont agrégés ; ils ne sont pas localisés précisément. Autrement dit, l'itinéraire que les individus ont emprunté entre les mailles n'est pas connu, seuls leurs lieux d'origine et de destination sont renseignés de manière imprécise car ils sont assimilés au centre de la maille.

La géovisualisation d'une matrice OD pose des problèmes spécifiques liés à la composante spatiale, à la quantité et à la valeur des arêtes. Du fait de contraintes physiques de distance et de temps, une matrice OD à courte distance aura une structure spatiale très différente d'une matrice OD à longue distance. A longue distance, les flux observés coïncident avec des moyens de transport rapides tandis qu'à courte distance, ils peuvent être répartis dans toutes les directions. Ainsi, leur représentation *naïve* – par exemple, sous la forme de cartes de flux classiques qui associent à tout couple d'OD une arête d'épaisseur proportionnelle à la valeur du flux – produit des cartes à peu près lisibles sur longue distance, à petite échelle, mais illisibles pour les moyennes et courtes distances (voir Figure 1).

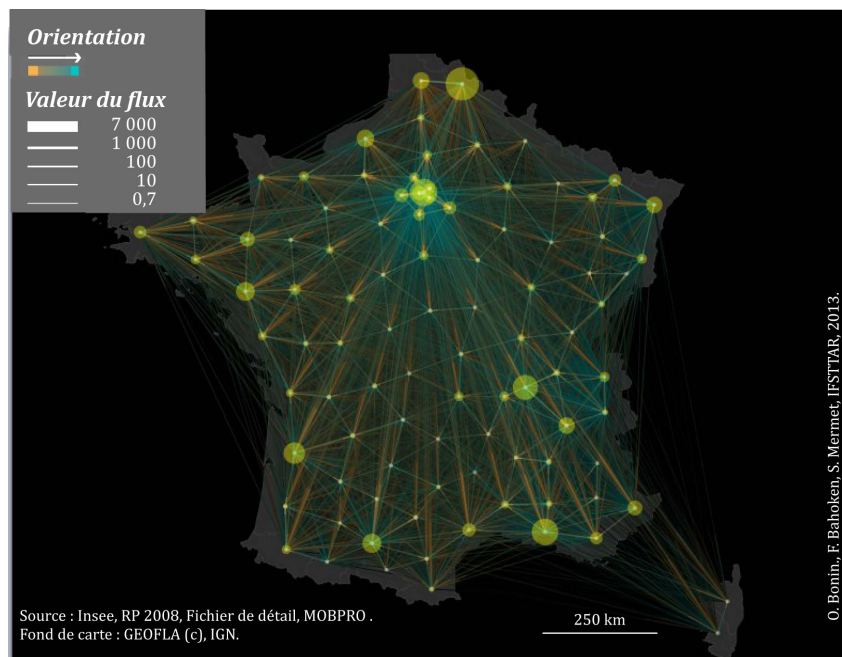
Figure 1 : Cartographie directe des flux domicile – travail à l'échelle de la France (version 1)



Sur la Figure 1, les arêtes sont représentées par des bandes affectées d'une double coloration, afin de ne pas recourir au modèle graphique de la flèche qui pose nombre de contraintes graphiques spécifiques. Une première manière de l'améliorer consiste à utiliser une sémiologie graphique adaptée à la cartographie de flux réalisée sur un support-écran, telle qu'elle est mise en oeuvre dans le champ de la visualisation des données. Elle agit sur la variable visuelle couleur au niveau global de la perception d'ensemble, ainsi qu'au niveau local de la représentation des figurés.

Sur le plan global, nous avons fait le choix d'utiliser un fond noir qui autorise la visualisation de la masse de petits flux diffus qui n'étaient pas perceptibles autrement, les plus gros flux étant par ailleurs rendus plus *saillants*. Au niveau local, l'utilisation d'un gradient translucide de couleurs opposées, depuis les lieux d'origine vers les lieux de destination, représenté respectivement par des teintes chaudes, en orange, vers les teintes froides, en bleu, permet de représenter efficacement l'orientation des flux, tout en illustrant l'émissivité et la réceptivité des lieux (voir Figure 2).

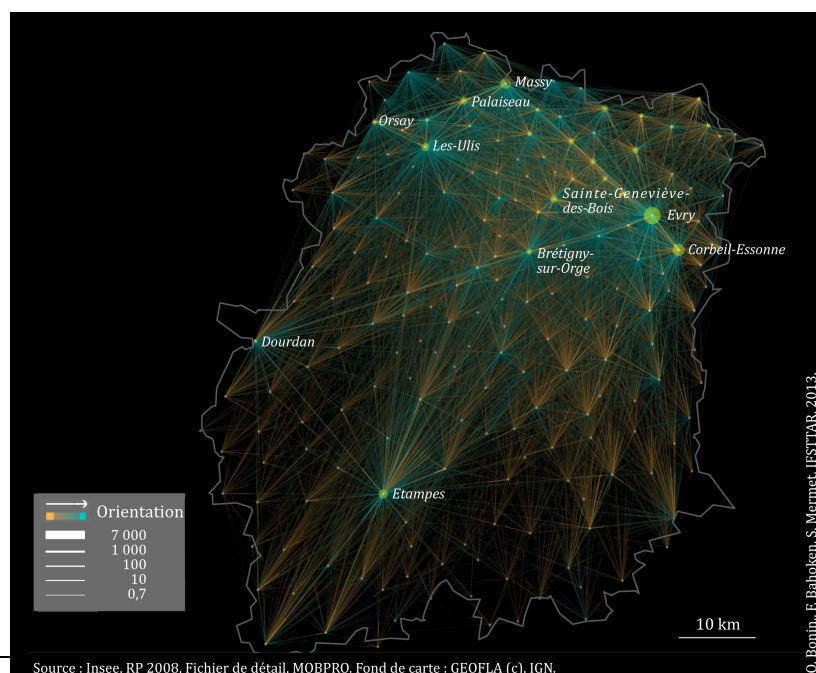
Figure 2 : Cartographie directe de flux domicile – travail à l'échelle de la France (version 2)



Le recours à des couleurs lumineuses rend par ailleurs, de notre point de vue, la carte plus efficace ; elle autorise aussi plusieurs niveaux de lecture du système de mobilités représenté.

Cependant, malgré son efficacité, cette amélioration d'ordre sémiologique est insuffisante dans le contexte de la courte distance qui pose des problèmes spécifiques de lisibilité. Pour l'illustrer, nous avons généré une matrice de flux domicile – travail du département de l'Essonne (91), à partir du fichier de détail des mobilités professionnelles des individus (MOBPRO)<sup>1</sup> issu de l'exploitation complémentaire du recensement réalisé par l'Insee pour l'année 2008. Cet ensemble est composé de 196 communes, ce qui porte à 38 220 le nombre potentiel d'arêtes à représenter sur la carte. La densité de la matrice étant de 22%, 8 689 figurés sont représentés sur la Figure 3.

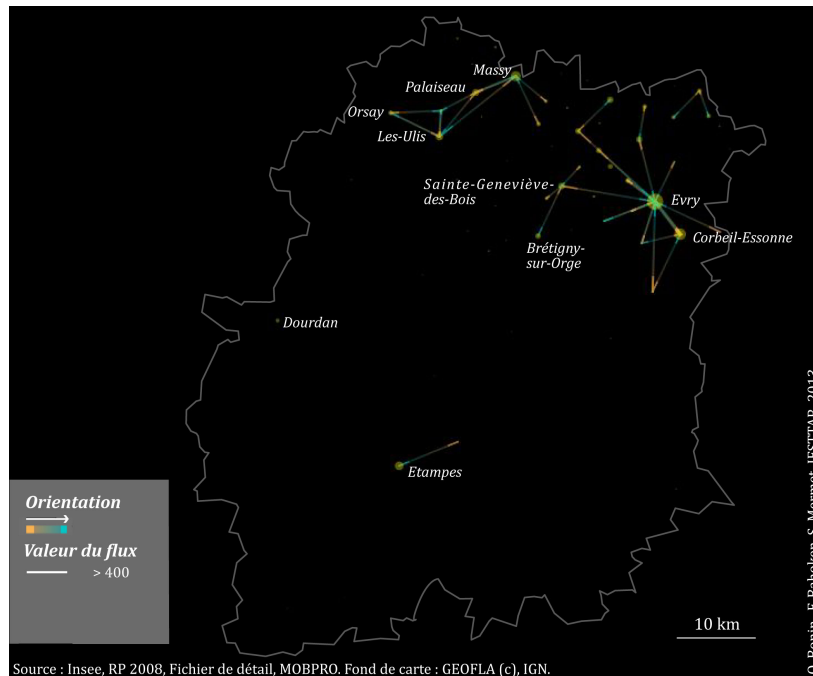
Figure 3 : Cartographie directe de flux domicile – travail de l'Essonne



<sup>1</sup> Les fichiers MOBPRO sont accessibles à l'adresse suivante : <http://www.insee.fr/fr/bases-de-donnees/default.asp?page=recensement/resultats/doc/presentation-fichiers-detail-mob-pro.htm>

La solution paramétrique qui consiste à sélectionner certains flux, pour ne conserver que ceux qui présentent les valeurs les plus importantes, repose sur une valeur de seuil nécessairement arbitraire. Elle produit des cartes certes intéressantes mais qui font disparaître la structure diffuse des OD ainsi que les différences d'attractivité des lieux (voir Figure 4).

Figure 4 : Cartographie directe d'une sélection de flux domicile – travail de l'Essonne



Plutôt que de sélectionner les valeurs de flux à cartographier, nous proposons d'agir sur l'espace. La matrice OD étant représentée par un graphe spatialisé dont les arêtes sont représentées par une sémiologie particulière, nous pouvons, en effet, intervenir à la fois sur le tracé des arêtes que sur la position des nœuds. Nous suggérons ainsi de conserver l'ensemble de l'information disponible dans la matrice, soit tous les liens entre les OD, mais de modifier la représentation euclidienne de l'espace en jouant sur deux degrés de liberté. Le premier porte sur la déformation des arêtes et le second sur la position des nœuds.

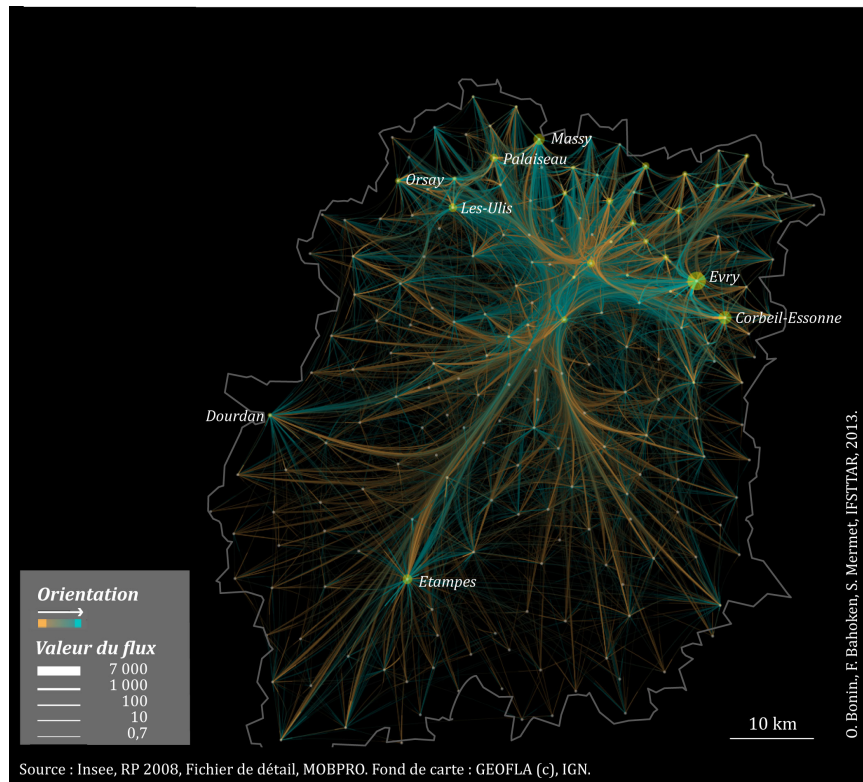
### La déformation des arêtes

Le premier degré de liberté que nous prenons porte sur la déformation des arêtes qui ne rejoignent plus en ligne droite les couples d'OD mais sont déformées de manière à fusionner visuellement. Le principe sous-jacent à ce mode de représentation est celui de l'agrégation graphique hiérarchique des arêtes proposée par Holten (2006), sous la dénomination d'*edge bundling*.

L'*edge bundling* est une méthode de visualisation des données relationnelles développée dans le champ des *Computer sciences*. Elle consiste à fusionner visuellement les arêtes en respectant la topologie des lieux et cela, en fonction d'une force d'attraction des nœuds et des arêtes. Elle autorise donc une action sur trois composantes spatiales : *i)* sur l'orientation des flux, car deux arêtes de sens opposé ne vont pas s'attirer visuellement, au risque d'engendrer un problème de visibilité ; *ii)* au niveau de l'attractivité des nœuds, qui est fonction de leur robustesse et *iii)* au niveau de la force d'attraction des arêtes liée à la valeur du flux. Dit autrement, chacune de ces arêtes valuées est découpée en petits aimants : plus la valeur du flux est importante et plus la force d'attraction des arêtes correspondantes est grande et plus les petits flux qui l'environnent sont aimantés jusqu'à fusionner.

L'*edge bundling* des flux l'Essonne est représenté sur la Figure 5. La méthode permet d'augmenter la lisibilité de la carte tout en conservant, en renforçant les motifs généraux des mobilités à l'échelle de la zone étudiée. Elle met en évidence comme des *couloirs préférentiels d'écoulement* qui correspondent à l'orientation générale des flux qui présentent les valeurs les plus importantes (voir Figure 5).

Figure 5 : Fusion graphique des flux domicile – travail de l'Essonne



Notre troisième proposition conserve cette orientation générale des flux ainsi que la proximité des lieux, tout en modifiant leur position dans l'espace.

### La transformation de la position des lieux

Le deuxième degré de liberté que nous prenons porte sur la localisation des lieux. Il permet d'obtenir une information complémentaire à celle présentée sur la Figure 5. L'information spatialisée qui porte sur des flux étant de nature topologique, il est possible de modifier la position absolue des lieux sans nuire à la lisibilité de la carte, à condition de conserver des propriétés relatives telles que les relations cardinales et les ordres de grandeur de distances entre les lieux. Il s'agit d'une schématisation, souvent effectuée à main, que nous proposons d'automatiser et de rendre interactive

Pour cela, nous sommes repartis du mode de représentation en « *chord diagram* », une variante du diagramme circulaire développé au MIT pour visualiser les structures relationnelles en « *peer-to-peer* » (Stoica et al., 2001), pour proposer une nouvelle vision de l'espace des flux. L'idée sous-jacente est celle d'une représentation équivalente au modèle euclidien qui respecte les directions cardinales des flux, la proximité des lieux ainsi que la structure spatiale de type centre-périphérie des aires fonctionnelles de l'espace étudié. Elle prend la forme d'une série de cercles emboîtés dont les périmètres accueillent les lieux qui y sont projetés. La position centrale ou périphérique des lieux correspond à leur position dans l'aire fonctionnelle dont il est question. Ainsi, les lieux situés sur les cercles internes ont une position centrale dans la région fonctionnelle dégagée par la procédure de classification associée et inversement, pour les lieux projetés sur le cercle externe.

Les nouvelles positions des flux OD sont dès lors obtenues en deux étapes. Nous réalisons d'abord une classification fonctionnelle<sup>2</sup> des flux, afin de partitionner l'espace en sous-régions homogènes qui ont leur propre structure interne, puis nous décidons du nombre de classes à représenter. Nous schématisons ensuite les sous-régions fonctionnelles obtenues en projetant les communes concernées sur les doubles cercles équivalents pour conserver la structure centre-périphérie (voir Figure 6 et Figure 7).

Figure 6 : Représentation de la localisation des communes de l'Essonne projetées sur des classes fonctionnelles de cercles équivalents

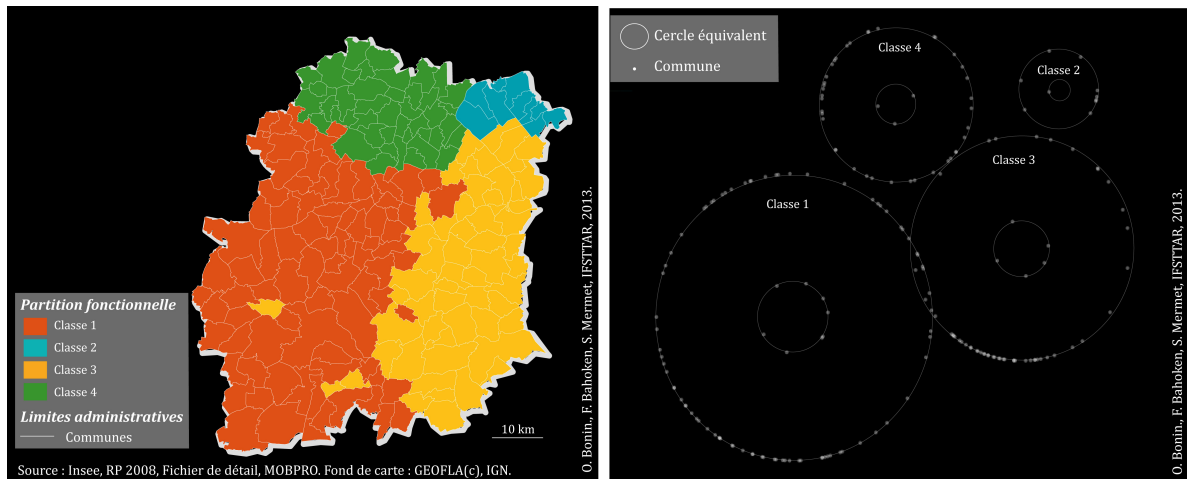
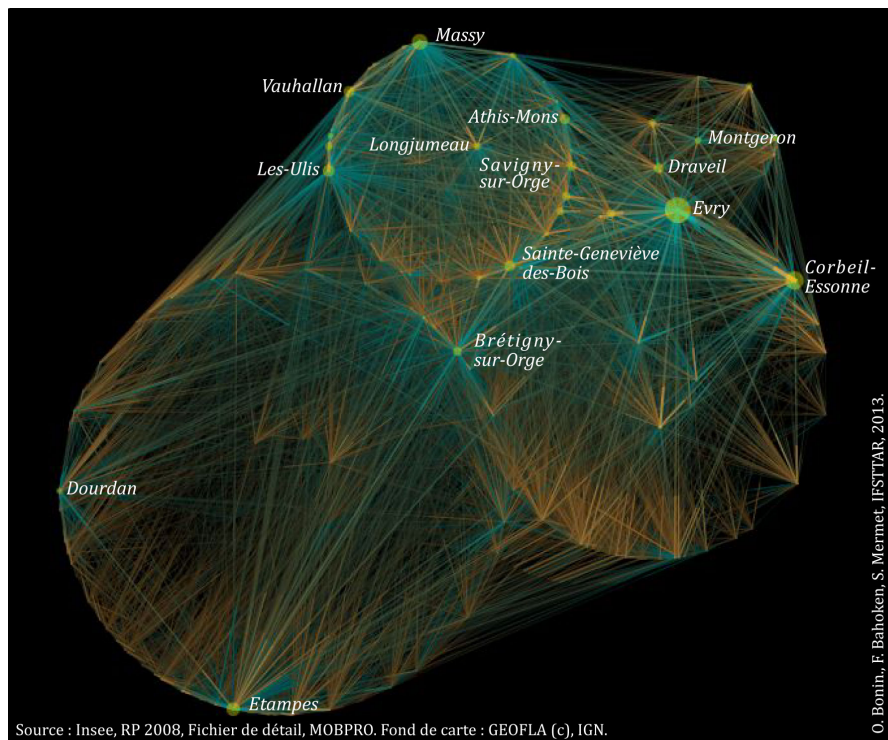


Figure 7 : Projection des flux domicile – travail de l'Essonne sur les classes de cercles équivalents

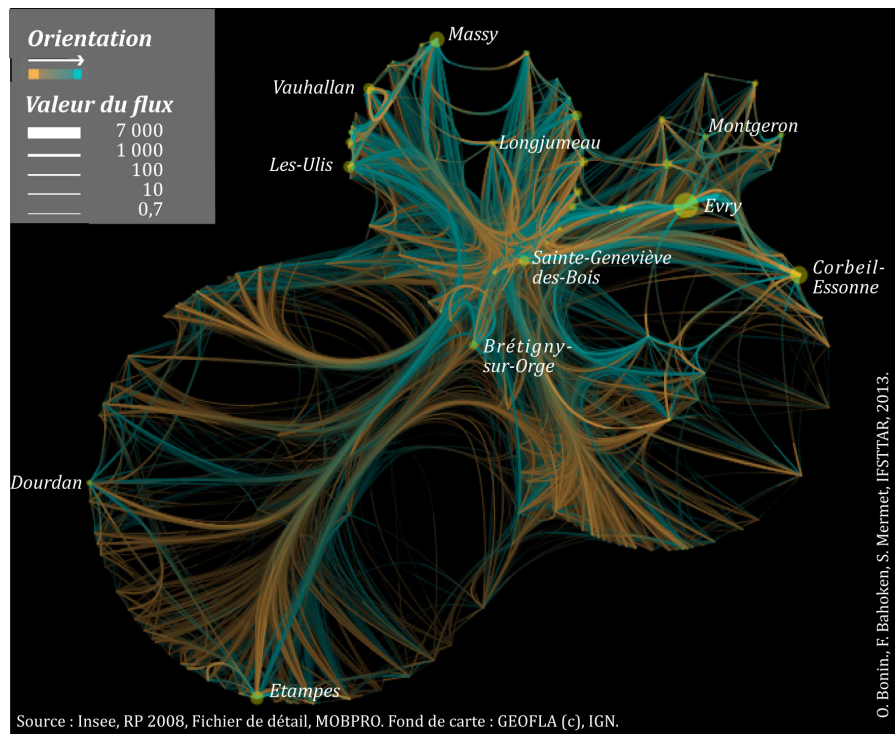


Nous représentons ensuite, à l'aide de la même technique d'*edge bundling*, l'ensemble des flux entre les communes (voir Figure 8). Ce nouveau mode de visualisation fait apparaître d'une part,

<sup>2</sup> Un descriptif de la méthode est disponible dans Bahoken et Costa (2011), pp. 11-20.

le fonctionnement interne des régions, les liens entre les régions ainsi que les zones d'interfaces ; et d'autre part, l'attractivité des lieux.

Figure 8 : Fusion graphique des flux domicile – travail de l'Essonne projetés sur des classes de cercles équivalents



Cette acceptation circulaire de l'espace des flux est innovante, elle diffère aussi de propositions fondées sur le diagramme circulaire. En cartographie, la question de la modification de la position des lieux, lorsque leur implantation spatiale est ponctuelle, n'est pas, à notre connaissance, questionnée. La position des lieux est, en effet, toujours supposée absolue et, lorsqu'elle ne l'est pas, les lieux sont appréhendés en implantation surfacique. Dans le cas de l'anamorphose scalaire (Cauvin, 1998), la transformation de la position des lieux est réalisée sur des polygones et pas sur des points. Elle est toujours associée à une déformation morphologique – dont l'ampleur est une fonction de la valeur prise par un indicateur (la population par exemple) – qui entraîne une modification de la position du barycentre de la commune. Dans le cas des anamorphoses vectorielles (Tobler, 1986), la transformation de la position des lieux résulte de celle des couples de lieux en interaction ; elle porte sur la valeur du flux, par conséquent de l'arête, ce qui n'est pas notre cas. De la même façon, notre proposition diffère du « *kriskogram* » proposé par Xiao et Chun (2009) qui est fondé sur des demi-arcs de cercles et du diagramme circulaire classique qui ne respecte ni l'orientation ni la proximité des lieux. Ainsi, hormis la localisation en  $x$  et  $y$  des lieux, les autres composantes liées aux flux sont maintenues : il s'agit du niveau de résolution spatiale (l'échelle), de l'orientation ( $\alpha^\circ$ ), du nombre  $N$  de lieux, de la quantité de figurés qui illustrent les flux et leur valeur.

L'application proposée est autonome, dynamique et interactive, dans la mesure où l'on peut faire varier le nombre de sous-régions fonctionnelles et la manière dont les arêtes s'attirent mutuellement.

### Références mentionnées :

Bahoken F., Costa N., 2011 Functional Regions based on Intramax procedures, In Grasland C., Van Hamme G. (coord.), *Statistical Toolbox for flows and network analysis*, Deliverable D.5.1.



EuroBroadMap.Vision of Europe in the World. Small or medium scale focused project FP7-SSH-2007-1, pp. 11-20. URL : <http://hal.archives-ouvertes.fr/halshs-00654532/>

Boyandin I., Bertini, E., Lalanne, D., 2010, Using Flow Maps to Explore Migrations Over Time, *Proceedings of Geospatial Visual Analytics Worskshop in conjunction with the 13th AGILE International Conference on Geographic Information Science (GeoVa)*, Guimaraes, Portugal, 4 p. URL : <http://code.google.com/p/jflowmap/>

Breukelman J., Brink G., De Jong T., Floor H., 2009, Selecting Flow Data, *Manual. Flowmap software v.3.2*, Faculty of Geographical Sciences, Utrecht University, the Netherlands, pp. 42-44.

Cauvin C., 1998, Des transformations cartographiques, *Mappemonde*, n°49 (98-1), 4 p. URL : <http://www.mgm.fr/PUB/Mappemonde/M198/Cauvin.pdf>

Holten D., 2006, Hierarchical edge bundles: Visualization of adjacency relations in hierarchical data, *Proceedings of the IEEE Transactions on Visualization and Computer Graphics*, vol. 12, n°5, pp. 741-748.

Stoica I., Morris R., Karger D., Frans Kaashoek M., Balakrishnan H., 2001, Chord: A Scalable Peertopeer Lookup Service for Internet Applications, *Proceedings of the SIGCOMM'01 Conference*, August 27-31, 2001, San Diego, California, USA, 12 p.

Tobler, W., 1986, Bidimensional Regression, *Geographical Analysis*, Vol. 26, n°3, pp. 187-212. URL : [http://www.geog.ucsb.edu/~tobler/publications/pdf\\_docs/geog\\_analysis/Bi\\_Dim\\_Reg.pdf](http://www.geog.ucsb.edu/~tobler/publications/pdf_docs/geog_analysis/Bi_Dim_Reg.pdf)

Xiao N., Chun Y., 2009, Visualizing migration flows using kriskograms, *Cartography and Geographic Information Science*, vol. 36, n°2, pp. 183-191.